

بررسی انعطاف‌پذیری و بهینه‌سازی هندسی طرح جدید استنت پلیمری با روش المان محدود

محمد خاتمی (دانشجوی دکتری)

علی دنبوی (دانشیار)

امیرموسى ابازری* (دانشیار)

گروه مهندسی مکانیک، دانشکده مهندسی، دانشگاه ارومیه

محمد فتوحی (استادیار)

گروه مواد، مکانیک، مدیریت و طراحی، دانشکده مهندسی عمران و علوم زمین، دانشگاه صنعتی دلفت، دلفت، هلند

با وجود همه نوآوری‌ها در طراحی استنت‌های قلبی - عروقی، استنت‌های فلزی که مورد استفاده قرار می‌گیرند، مشکلات مختلفی مانند خودگی، عفونت و تنگی مجدد را ایجاد می‌کنند که منجر به مشکلات جسمی یا حتی مرگ بیماران می‌شود. بهمنظور به حداقل رساندن مشکلات مرتبط با استنت‌های فلزی، مواد جدیدی مانند پلیمرها در حال توسعه هستند. در این مطالعه، سفتی و انعطاف‌پذیری استنت‌های پلیمری تجاری با استفاده از روابط تحلیلی و روش المان محدود بررسی می‌شود. طرح جدیدی برای استنت زیگ‌زاک به منظور کاهش حساسیت نسبت به تغییر ضخامت جهت افزایش استحکام شعاعی آن ارائه می‌شود. در پایان، از روش تاکوجی و آنالیز واریانس جهت طراحی آزمایش و تعیین میزان تأثیر پارامترهای هندسی استنت شامل عرض استرات، عرض پل و ضخامت استنت روی انعطاف‌پذیری این نوع استنت استفاده می‌گردد. نتایج نشان می‌دهد که عرض پل و استرات به ترتیب بیشترین تأثیر را روی انعطاف‌پذیری استنت دارند و تغییر ضخامت استنت که پارامتر تأثیرگذار در میزان استحکام شعاعی است، تأثیر معناداری روی انعطاف‌پذیری این نوع استنت ندارد.

m.khatami@urmia.ac.ir
a.donavi@urmia.ac.ir
am.abazari@urmia.ac.ir
m.fotouhi-1@tudelft.nl

واژگان کلیدی: استنت، بهینه‌سازی، آنالیز واریانس، المان محدود.

۱. مقدمه

انبساط شعاعی بالا، مقاومت در برابر خودگی، سازگاری زیستی و کنترل آسان باشد.^[۱] استنت‌ها می‌توانند از مواد مختلف ساخته شوند اما استنت‌های فلزی، به ویژه فولاد زنگ‌زن، به دلیل ویژگی‌های مکانیکی خوب، متداول‌ترین استنت‌های تجاری هستند. با این حال، استنت‌های فلزی دارای برخی از نقایص مانند تابش رادیویی کم، خودگی، تنگی مجدد^۲ و عوارض خونریزی هستند.^[۳] تقریباً در ۳۰٪ بیماران پس از عمل جراحی تنگی مجدد اتفاق می‌افتد و با نزد بالای مرگ و میر و همچنین هزینه‌ی بالای مراقبت‌های بهداشتی، همراه است.^[۴] یکی از اصلی ترین مشکلات ناشی از تنگی مجدد، آسیب عروق توسط میله‌های فلزی استنت و درنتیجه پاسخ ایمنی و التهابی توسط بدن انسان است. به منظور به حداقل رساندن مشکلات مرتبط با استنت‌های فلزی، مواد جدیدی مانند پلیمرها در حال توسعه هستند.^[۵]

سالانه ۴۰٪ از مرگ و میر در اتحادیه‌ی اروپا سهم بیماری‌های قلبی عروقی است که موجب هزینه‌ای در حدود ۱۹۶ میلیارد یورو می‌شود.^[۶] تصلب شرایین عروق کرونر^۷ یکی از شایع‌ترین بیماری‌های قلبی عروقی است.^[۷] این نوع بیماری را می‌توان با داروهایی مانند داروهای ضد انعقاد، مواد ضد پلاکت یا با روش‌های جراحی درمان کرد. استنت^۸‌های قلبی عروقی در عمل جراحی به نام آرژیوپلاستی، استنت^۹‌های قلبی عروقی در عمل جراحی به نام آرژیوپلاستی،^[۱] و دارای ساختارهای لوله‌ای و سوراخ‌دار هستند.^[۱۰] آنها برای باز نگهداشتن رگ‌ها و برقراری مجدد جریان طبیعی خون، در رگ‌های خونی قرار می‌گیرند. استنت‌ها برای استفاده به عنوان تجهیزات پزشکی قابل کاشت، باید دارای چند ویژگی مهم مانند مقاومت مکانیکی، تاثیش رادیویی،^{۱۱} انعطاف‌پذیری طولی،

* نویسنده مسئول

تاریخ: دریافت ۲۰ رجب ۱۴۰۱، اصلاحیه ۱۴۰۱، پذیرش ۱۹ اردیبهشت ۱۴۰۲.

استناد به این مقاله:

خاتمی، محمد، دنبوی، علی، ابازری، امیرموسى و فتوحی، محمد. ۱۴۰۳. بررسی انعطاف‌پذیری و بهینه‌سازی هندسی طرح جدید استنت پلیمری با روش المان محدود. دانشکده مهندسی مکانیک شریف، ۱۴۰۰، ص. ۱۵-۳۶. DOI:10.24200/J40.2023.60261.1637

پارامترهای طراحی می‌توان این نوع استنت‌ها را با استنت‌های دائمی جایگزین کرد. بابل و همکاران^[۲۵] با استفاده از روش المان محدود، مقاومت شعاعی، انعطاف‌پذیری و مقاومت طولی استنت‌های پلیمری را مورد بررسی قرار داده و نشان دادند که این روش یک فرایند قابل اطمینان جهت آزمایشگاهی جهت تأیید نتایج روش المان محدود در مطالعات قبلی، از استنت‌های آزمایشگاهی جهت تأیید نتایج روش المان محدود استفاده شده که روشی مطمئن‌ولی پر هزینه می‌باشد. همچنین در مدل‌های ارائه شده پیشین، هنوز ضخامت‌های بهینه‌سازی شده مورد نیاز است.

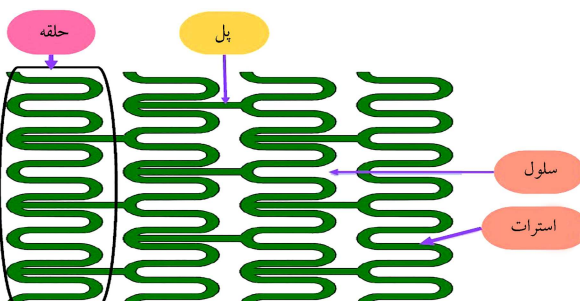
در این مقاله جهت رفع محدودیت‌های ذکر شده از روابط تحلیلی جهت صحبت‌سنجی نتایج المان محدود استفاده می‌شود. از آنجا که بیشتر تحقیقات قبلی روی استنت‌های فلزی بوده و تحقیقات کمی روی بهینه‌سازی استنت‌های پلیمری انجام شده است، لزوم ایجاد یک طرح بهینه جهت افزایش هم‌زمان انعطاف‌پذیری و استحکام شعاعی استنت پلیمری بسیار احساس می‌شود. از این‌رو در این مطالعه، سفتی و انعطاف‌پذیری استنت‌های پلیمری تجاری با استفاده از روابط تحلیلی و روش المان محدود بررسی می‌شود. براساس بررسی انجام شده، طرح جدیدی از استنت زیگ زاگ ارایه می‌گردد تا از نظر انعطاف‌پذیری، حساسیت کمتری به تغییر ضخامت جهت افزایش استحکام شعاعی آن داشته باشد. در پایان از روش تاگوچی و آنالیز واریانس جهت طراحی آزمایش و تعیین میزان تأثیر پارامترهای هندسی استنت شامل عرض استرات، عرض پل و ضخامت استنت روی انعطاف‌پذیری این نوع استنت استفاده می‌شود.

۳. روش تحقیق

شبیه‌سازی کامپیوتوری یک ابزار پشتیبانی ارزشمند در طی مراحل طراحی و بررسی پارامترهای مؤثر استنت است که نسبت به روش آزمایشگاهی مشابه، باعث صرفه‌جویی قابل توجهی در هزینه و زمان شده و جزئیات بیشتری ارائه می‌کند. با این وجود، پیاده‌سازی و اعتبارسنجی روش‌های حل عددی از چالش‌های اساسی در این زمینه محسوب می‌شود. استفاده از مدل‌های تحلیلی ساده در مراحل اولیه طراحی و توسعه‌ی استنت با هدف شناسایی دامنه مناسب برای هر پارامتر، بسیار مؤثر است. پارامترهای هندسی استنت شامل سلول^۹، استرات^{۱۰}، پل^{۱۱} و حلقه^{۱۲} بوده که در شکل ۱ نشان داده شده است. این پارامترها نقش اساسی در بهینه‌سازی خواص مکانیکی استنت دارند.

۴. طراحی استنت

در زمینه‌ی استنت‌های زیست تخریب‌پذیر، سه طرح مولتی لینک، جاذب و زیگ



شکل ۱. پارامترهای هندسی استنت.

و پرکاربرد استنت‌های پلیمری می‌باشند، در این مطالعه هندسه این استنت‌ها مورد بررسی قرار گرفته است. از طرفی توسعه‌ی داربست‌های عروقی مبتنی بر پلیمر، به هندسه‌ی ساختاری جدیدی نیاز دارد، زیرا این مواد پلیمری به میزان قابل توجهی استحکام شعاعی کمتری از آلیاژهای فلزی دارند.^[۱۱] به همین دلیل استنت‌های پلیمری دارای ضخامت بیشتری هستند که باعث کاهش انعطاف‌پذیری آنها می‌شود. یک استنت ایده‌آل بایستی دارای انعطاف‌پذیری کافی جهت تطابق با آناتومی رُك و حرکت آن بوده و همچنین بتواند مقاومت شعاعی مورد نیاز جهت بازیابی جریان خون را فراهم نماید. در این مطالعه، برای رفع این مشکل از بهینه‌سازی هندسه استنت با استفاده از روش تاگوچی استفاده می‌شود و طرح جدیدی برای استنت زیگ زاگ ارایه می‌گردد که نسبت به طرح قبلی حساسیت کمتری به تغییر ضخامت دارد و هم‌زمان با افزایش ضخامت، می‌تواند انعطاف‌پذیری استنت را حفظ نماید.

۲. مروری بر منابع

استنت‌ها، ساختارهای زیست پژوهشی لوله‌ای شکل هستند که برای باز کردن رُك خونی مسدود شده، مجرای تفسی با قسمت‌های مختلف دستگاه گوارش، استفاده می‌شوند. انعطاف‌پذیری استنت یکی از پارامترهای تأثیرگذار در کاشت استنت در عروق کرونری می‌باشد. استنت با انعطاف‌پذیری بالا به راحتی از عروق پر پیچ و خم عبور کرده و به محل گرفتگی می‌رسد.^[۱۲] استنت پس از قرارگیری در رُك باید با فرم آن منطبق گردد.^[۱۳] استنت‌های پلیمری زیست تخریب‌پذیر در سال ۲۰۱۵ توسط سازمان غذا و داروی آمریکا تأیید شدند.^[۱۴] این نوع استنت‌ها دارای استحکام شعاعی پایین نسبت به نمونه فلزی هستند که با بهینه‌سازی طراحی یا افزایش ضخامت این نفیسه بر طرف می‌شود، ولی چالش اساسی در خصوص این نوع استنت‌ها، پایین بودن انعطاف‌پذیری به دلیل ضخامت زیاد می‌باشد.^[۱۵] طراحی ساختاری بهینه یکی از عوامل مهم برای استنت‌های زیست تخریب‌پذیر جهت دستیابی به عملکرد مورد انتظار است.^[۱۶] پرینت سه بعدی به عنوان یک روش ساخت انعطاف‌پذیر امکان ایجاد طرح‌های خلاقانه در زمینه استنت را فراهم کرده است.^[۱۷] وانگ و همکاران^[۱۸] پرینت سه بعدی استنت‌های پلیمری و تغییر شکل طولی آنها را مورد بررسی قرار داده و نتیجه گرفته‌اند که با بهینه‌سازی طراحی، می‌توان از تغییر شکلی طولی استنت هنگام استقرار در رُك جلوگیری کرد. لی و همکاران^[۱۹] بهینه‌سازی طراحی و فرایندی استنت پلیمری زیست تخریب‌پذیر را مورد بررسی قرار داده و با بهینه‌سازی چند هدفه، خواص مکانیکی استنت پلیمری را بهبود دادند.

روش المان محدود یک روش مفید در بررسی ساختار استنت‌ها بوده و اطلاعات زیادی در مطالعه و بهینه‌سازی طراحی استنت‌ها ارائه می‌کند.^[۲۰] آزوژی و همکاران^[۲۱] با استفاده از المان محدود اثر طراحی استنت به ویژه بل‌ها روی انعطاف‌پذیری استنت مورد بررسی قرار داده و نشان دادند که المان‌های اتصال بیشترین تأثیر را روی رفتار ساختاری استنت دارند. موری و همکاران^[۲۲] یک روش بهینه را جهت تعیین سفتی خمثی استنت ابداع کردند. آنها از نتیجه خمث چهار نقطه‌ای جهت بررسی انعطاف‌پذیری استنت و از روش المان محدود جهت آزمایش تأثیرگذار استنت روی انعطاف‌پذیری استنت با ساختار پیوندی مختلف، استفاده کردند. لی و همکاران^[۲۳] از روش بهینه‌سازی جهت بهبود خواص مکانیکی استنت استفاده نموده و نشان دادند که روش بهینه‌سازی در مطالعه‌ی خواص استنت‌های قلبی عروقی بسیار مؤثر است. گروگان و همکاران^[۲۴] با استفاده از شبیه‌سازی نتیجه موقعتی،^۸ خواص مکانیکی استنت‌های فلزی قابل تجزیه را مورد بررسی قرار داده و نشان دادند که با تغییر

۵. مدل تحلیلی استنت
انعطاف‌پذیری استنت رابطه‌ی معکوس با سفتی آن دارد. دونوع سفتی برای استنت‌ها تعریف شده است: سفتی در مقابل تغییر شکل k_d و سفتی خمشی k_b . رابطه‌ی $1^{[26]}$ سفتی در مقابل تغییر شکل استنت را نشان می‌دهد:

$$k_d = \frac{F}{\Delta D} \quad (1)$$

در این رابطه، k_d بیانگر سفتی استنت در مقابل تغییر شکل، F معروف نیروی شعاعی اعمال شده به استنت در فشار فروپاشی ΔD و نمایانگر اختلاف قطر ایجاد شده در اثر اعمال نیرو است. فشاری که در آن 10% قطر استنت کاهش پیدا کند به عنوان فشار فروپاشی تعریف می‌شود که به عنوان معیاری جهت تحمل فشار دیواره رگ می‌باشد. این فشار در استنت جاذب، مولتی لینک و زیگ زاگ از جنس پلیمر پلی‌لاکتیک اسید (PLA) $14^{[14]}$ به ترتیب برابر 41×10^3 و 11×10^3 و 5×10^3 مدل‌سازی شده است.^[10] این بدان معنا است که در مقابل فشار اعمالی، استنت جاذب مقاوم‌ترین و استنت زیگ زاگ ضعیف‌ترین عملکرد را دارد. قطر خارجی استنت پس از گسترش، به عنوان قطر اولیه (D_0) و قطر خارجی استنت پس از اعمال فشار فروپاشی و کاهش 10% قطر، به عنوان قطر نهایی (D) در نظر گرفته می‌شود. شکل ۳ نمای شماتیکی از استنت را در حالت پس از گسترش و در فشار فروپاشی، نشان می‌دهد.

D از رابطه ۲ و ۳ بدست می‌آید:

$$\frac{D}{D_0} = 0.9 \quad (2)$$

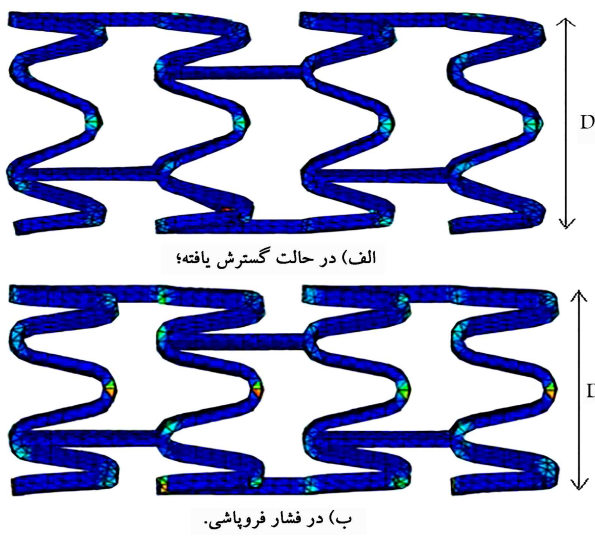
$$\Delta D = D_0 - D \quad (3)$$

جهت محاسبه‌ی نیروی شعاعی اعمال شده به استنت F در فشار فروپاشی، از رابطه $4^{[26]}$ استفاده می‌شود.

$$F = P \cdot A_{Contact} \quad (4)$$

در این رابطه، P فشار فروپاشی و $A_{Contact}$ مساحت سطح تماس استنت با رگ می‌باشد که از رابطه $5^{[26]}$ محاسبه می‌شود:

$$A_{Contact} = A_{Struts} + A_{bridges} \quad (5)$$



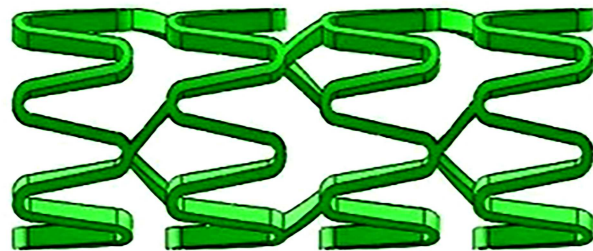
شکل ۳. نمای شماتیک از استنت.

زاگ، دارای کاربرد تجاری هستند. جدول ۱ مشخصات مربوط به این استنت‌ها را نشان می‌دهد.

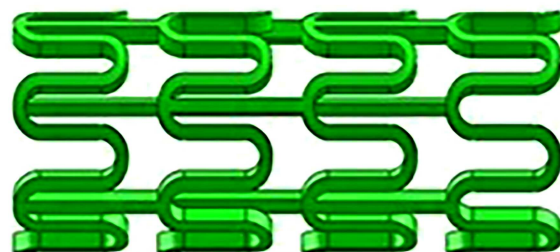
معرف قطر خارجی استنت در حالت اولیه (پیش از گسترش) بوده که برای استنت مولتی لینک $2/2$ میلی‌متر، جاذب 2 میلی‌متر و زیگ زاگ $1/65$ میلی‌متر است. D بیانگر قطر خارجی استنت پس از گسترش (باز شدن) در داخل رگ توسط بالون می‌باشد که برای استنت مولتی لینک به $3/2$ میلی‌متر، جاذب 4 میلی‌متر و زیگ زاگ به $3/65$ میلی‌متر می‌رسد. در این تحقیق، سه استنت مولتی لینک، جاذب و زیگ زاگ با استفاده از جدول ۱ و به طول $5/30$ میلی‌متر با نرم افزار سالیدورک^{۱۳} مدل‌سازی شده است. شکل ۲ نمای شماتیکی از این استنت‌ها را در حالت اولیه و پیش از گسترش، نشان می‌دهد.

جدول ۱. مشخصات استنت‌های مولتی لینک، جاذب و زیگ زاگ.^[25]

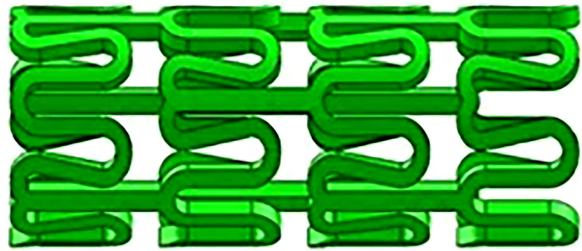
استنت	عرض استرات (μm)	عرض پل (μm)	ضخامت استنت
مولتی لینک	۱۱۰	۱۱۰	۱۵۶
جاذب	۲۰۰	۱۴۳	۱۵۶
زیگ زاگ	۸۲	۹۰	۱۷۰



الف) استنت مولتی لینک؛

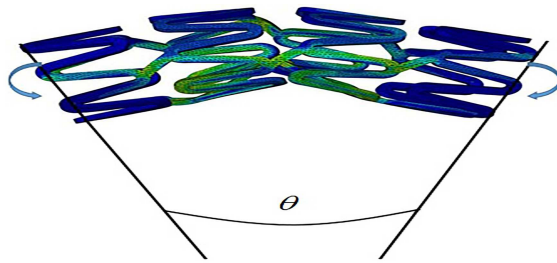


ب) استنت جاذب؛



ج) استنت زیگ زاگ.

شکل ۲. نمای شماتیک استنت‌های پلیمری در حالت اولیه.



شکل ۴. شبیه‌سازی المان محدود تست انعطاف‌پذیری استنت زیگ زاگ با طول ۵/۳۰ میلی‌متر، زاویه خم ۷۸° و انحنای ۱۵°.

جدول ۲. پارامترهای هندسی استنت و سطوح آنها.

سطح	پارامترهای هندسی استنت	
۳	۲	۱
۰/۱۶	۰/۱۳	۰/۱
۰/۱۴	۰/۱۱	۰/۰۸
۰/۲۳	۰/۴	۰/۱۷

عرض پل (mm)

ضخامت استنت (mm)

این روش با انجام کمترین آزمایش‌ها، اثر عامل‌های مختلف روی خروجی بررسی شده و بهترین پاسخ ارائه می‌شود. روش تاگوچی در طراحی آزمایش استفاده از آرایه‌های متعامد در کاهش تعداد آزمایش‌ها است. با استفاده از روش تاگوچی می‌توان عواملی که بیشترین تأثیر را بر کیفیت محصول دارند، با حداقل آزمایش تعیین کرد. استفاده از روش طراحی آزمایش و بهینه‌سازی پارامترهای هندسی استنت، در تایید کارایی استنت بسیار مؤثر است. در این مطالعه، پس از انتخاب استنت زیگ زاگ به عنوان استنت با انعطاف‌پذیری بالا، جهت افزایش همزمان انعطاف‌پذیری و استحکام شعاعی آن طرح جدیدی ارائه شده است. سپس جهت بررسی قابلیت استنت جدید، طراحی آزمایش با سه فاکتور عرض استرات، عرض پل و ضخامت استنت در سه سطح (جدول ۲) و با استفاده از روش تاگوچی و آرایه استاندارد $L/9$ (تعداد ۹ آزمایش) انجام گردید. در ادامه، جهت تعیین تأثیر هر کدام از فاکتورها روی انعطاف‌پذیری استنت، از روش آنالیز واریانس استفاده شده است. در انتخاب سطح فاکتورها، در جدول ۲ موارد زیر لحاظ شده است:

۱. سطح ۱ کمترین مقدار پارامترها و بر اساس اندازه استاندارد استنت تجاری زیگ زاگ [۲۵] تعیین می‌شود؛

۲. سطح ۲ میانگین سطح ۱ و سطح ۳ می‌باشد؛

۳. سطح ۳ بیشترین مقدار فاکتورها بوده و از لحاظ هندسی مقادیر بالاتر از این اعداد منجر به تماس حلقه‌های محیطی استنت با یکدیگر می‌شود.

۸. نتایج

۸.۱. صحبت‌سنگی روش

در مرجع [۲۵] انعطاف‌پذیری استنت تجاری زیگ زاگ با استفاده از روش المان محدود مورد بررسی قرار گرفته است. در این مطالعه، جهت صحبت‌سنگی روش المان محدود، استنت زیگ زاگ با همان مشخصات (جدول ۱) بازطراحی شده

در این رابطه، A_{Struts} مساحت سطح استرات‌های استنت و $A_{bridges}$ مساحت سطح پل‌های استنت بوده که با سطح داخلی رگ در تماس می‌باشند (در شکل ۱ استرات و پل نمایش داده شده است). به دلیل ساختار متشکل استنت، تماس بین استنت و دیواره‌ی داخلی رگ، تنها در محل استرات‌ها و پل‌های استنت خواهد بود و در صدای از دیواره‌ی داخلی رگ با محیط بیرونی استنت در تماس است. ارمیستون و همکاران [۲۷] نشان دادند که استنت مولتی لینک از جنس پلی لاکتیک اسید ۲۵ درصد، استنت مینیزیمی جاذب ۱۰ درصد و استنت زیگ زاگ از جنس پلی لاکتیک اسید، ۲۴ درصد با دیواره‌ی رگ سطح تماس خواهد داشت. درنتیجه می‌توان با محاسبه مساحت سطح داخلی رگ و اعمال درصدهای ذکر شده، مساحت سطح تماس هر استنت را محاسبه کرد. رابطه‌ی ۶ مساحت سطح داخلی رگ را نشان می‌دهد: [۲۶]

$$AV_{essel} = \pi D_{vessel} L \quad (6)$$

به طوریکه L بیانگر طول اولیه‌ی استنت و D_{vessel} معرف قطر رگ است. همچنین مساحت سطح تماس استنت با دیواره‌ی رگ که همان مساحت سطح خارجی استنت است را می‌توان با استفاده از نرم‌افزارهای طراحی مانند سالیدورکز به راحتی استخراج کرد. سفتی خمی استنت شبیه قسمت خطی (الاستیک) نمودار گشتاور- انحنای است که از نتایج شبیه‌سازی المان محدود استخراج می‌شود. [۲۶]

۶. شبیه‌سازی استنت

با استفاده از شبیه‌سازی المان محدود می‌توان رفتار مکانیکی استنت‌های پلیمری را رزیابی کرد. در این مقاله، جهت شبیه‌سازی از نرم‌افزار آباقوس استفاده شده است. جنس استنت‌ها از پلیمر پلی لاکتیک اسید با مدل الاستیک ۱۵۵۴ مکاپاسکال، نسبت پوآسنون ۰/۴۵ و تشی تسلیم ۴۰ مکاپاسکال است. [۲۵] از حلگر آباقوس/استاندارد چهارچوبی مرتبه دوم با ۱۰ گره ($C3D10$) استفاده شده و پس از بررسی استنت از المان جهت آنالیز انعطاف‌پذیری استنت استفاده شده است. جهت مش بندی استنت از المان از شبیک، اندازه مش برابر ۱/۰ در نظر گرفته شده است. جهت بررسی سفتی از تست انعطاف‌پذیری در حالت قبل گسترش ۱۵ و گسترش یافته استنت استفاده می‌شود که مقدار سفتی در هر دو حالت یکسان است. [۲۵] در این تست به دو طرف استنت گشتاور خمی اعمال می‌شود تا به اندازه زاویه ۰ خم شود، سپس از رابطه ۷ انحنای استنت محاسبه می‌شود (شکل ۴) و در ادامه نمودار گشتاور- انحنای ترسیم می‌شود (شکل ۵) را ببینید) که شبیه این نمودار نشان دهنده سفتی خمی و معکوس آن نشان دهنده انعطاف‌پذیری استنت است. هرچه شبیه نمودار کمتر باشد، انعطاف‌پذیری استنت بیشتر و سفتی آن کمتر است. رابطه ۷ [۲۵] جهت محاسبه‌ی انحنای استنت به استفاده می‌شود:

$$\kappa = \frac{\theta}{L} \quad (7)$$

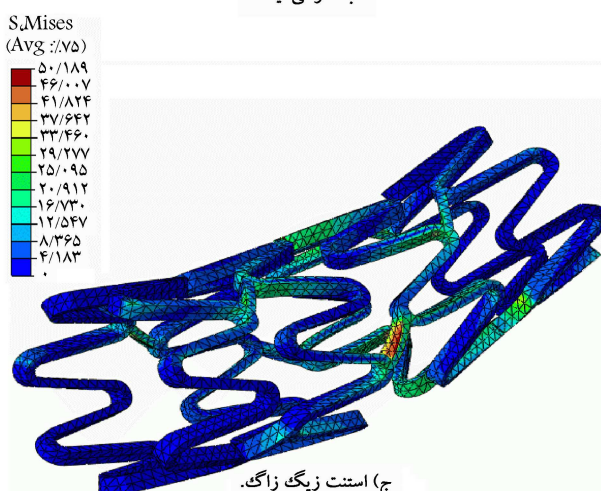
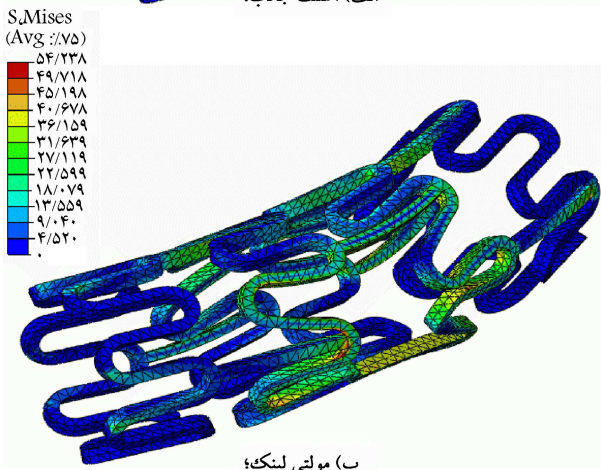
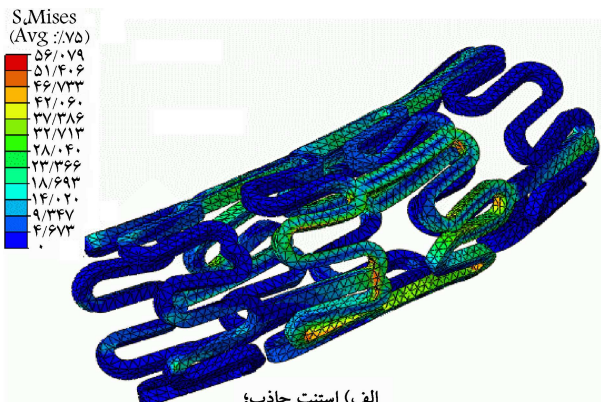
به طوریکه L بیانگر طول اولیه‌ی استنت، قبل از خم می‌باشد.

۷. بهینه‌سازی استنت

محققان برای شناخت و بررسی پدیده‌های مختلف، نیاز به انجام آزمایش‌های متعدد دارند که این امر باعث افزایش هزینه و صرف وقت زیاد می‌شود. روش طراحی آزمایش‌ها یکی از ابزارهای مهندسی کیفیت محاسبه می‌شود. یکی از بهترین راهکارها جهت کاهش تعداد آزمایش‌ها استفاده از روش طراحی آزمایش است. در

جدول ۳. مقادیر سفتی خمشی (شیب نمودارها در شکل ۶) استنت‌های مولتی لینک، جاذب و زیگ‌زاگ.

استنت	سفتی خمشی (N/mm ³)
جاذب	۲/۲۵
مولتی لینک	۰/۸۷
زیگ‌زاگ	۰/۱۳

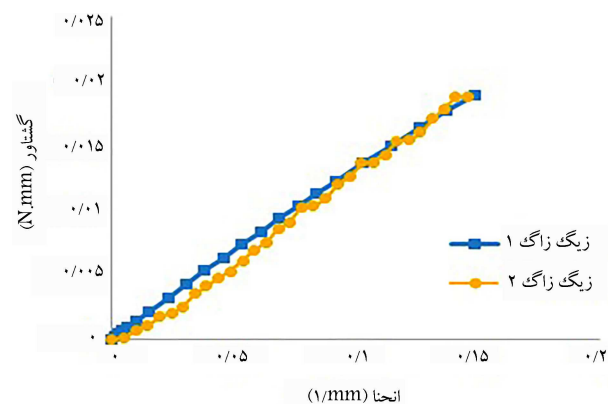


شکل ۷. توزیع تنش در اثر اعمال گشتاور خمشی با زاویه انحنای ۰/۵°.

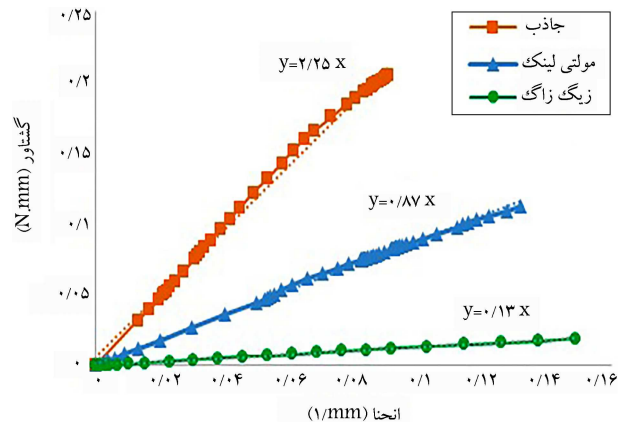
و انعطاف‌پذیری آن با استفاده از روش المان محدود تحلیل و با نتایج ارائه شده در مرجع [۲۵] مقایسه گردید. همانطور که شکل ۵ نشان می‌دهد، حداکثر اختلاف بین نتایج روش به‌کار رفته در این مقاله با نتایج ارائه شده در مرجع [۲۵] حدود ۵ درصد است. شکل ۶ نتایج بدست آمده از تست انعطاف‌پذیری استنت‌های مولتی لینک، جاذب و زیگ‌زاگ را نشان می‌دهد. محور افقی این نمودار، انحنای استنت بوده که از رابطه ۷ بدست می‌آید و محور عمودی گشتاور خمشی اعمالی می‌باشد.

همانطور که پیشتر نیز توضیح داده شد، سفتی خمشی از شیب ناحیه خطی (الاستیک) منحنی گشتاور- انحنای استنت بیشتر و سفتی خمشی از شیب نمودار کمتر باشد، انعطاف‌پذیری استنت بیشتر و سفتی خمشی آن کمتر است. با توجه به نمودار شکل ۶، به صورت کیفی از شیب نمودارها مشخص است که انعطاف‌پذیری برای استنت زیگ‌زاگ بیشترین و برای استنت جاذب کمترین است که در مورد سفتی، این موضوع کاملاً برعکس است. در جدول ۳، نتایج محاسبه سفتی خمشی سه استنت جاذب، مولتی لینک و زیگ‌زاگ براساس شیب نمودارهای شکل ۶، گزارش شده است. جدول ۳ نشان می‌دهد که استنت جاذب کمترین و استنت زیگ‌زاگ دارای بیشترین میزان انعطاف‌پذیری می‌باشند.

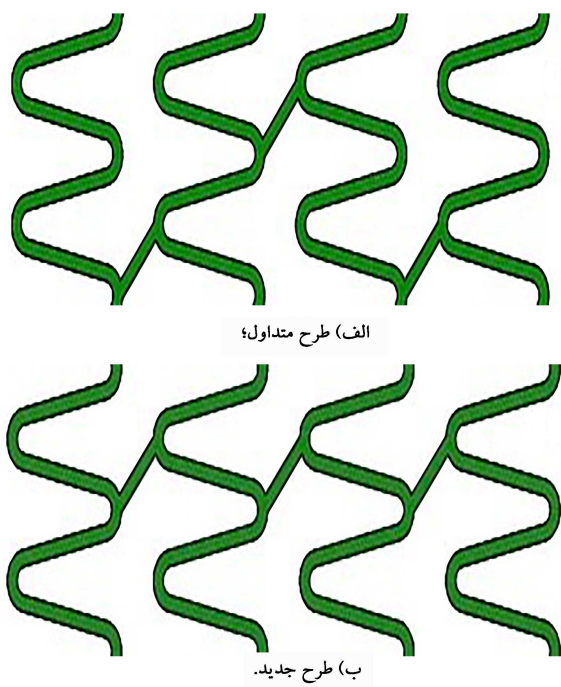
شکل ۷ توزیع تنش در استنت‌های جاذب، مولتی لینک و زیگ‌زاگ در اثر اعمال گشتاور خمشی را نشان می‌دهد. در زاویه انحنای ۰/۵° بیشترین تنش ایجاد شده در استنت جاذب، مولتی لینک و زیگ‌زاگ به ترتیب برابر ۰/۰۵۴، ۰/۰۵۶ و ۰/۰۱۸ مگاپاسکال است.



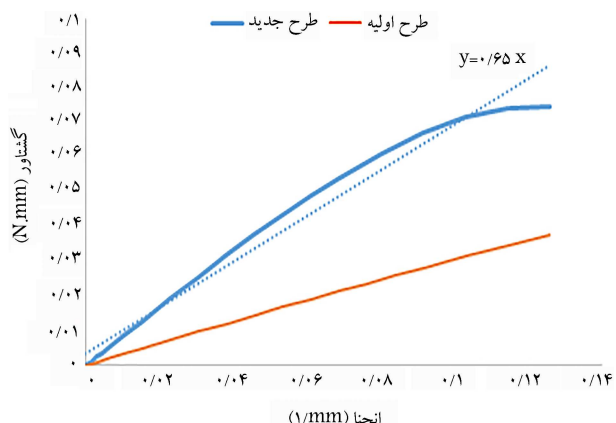
شکل ۵. مقایسه‌ی انعطاف‌پذیری استنت زیگ‌زاگ طراحی شده در این مقاله (زیگ‌زاگ ۱) با نمونه‌ی مشابه آن (زیگ‌زاگ ۲) [۲۵].



شکل ۶. مقایسه‌ی انعطاف‌پذیری استنت‌های مولتی لینک، جاذب و زیگ‌زاگ، با استفاده از تست انعطاف‌پذیری.



شکل ۹. مقایسه دو طرح استت زیگ زاگ.



شکل ۱۰. مقایسه انعطاف‌پذیری طرح جدید و اولیه استت زیگ زاگ با استفاده از روش المان محدود.

همچنان بیشتر از استنت‌های جاذب و مولتی لینک است و می‌تواند به عنوان استنت با انعطاف‌پذیری بالا انتخاب شود (شکل ۱۰).

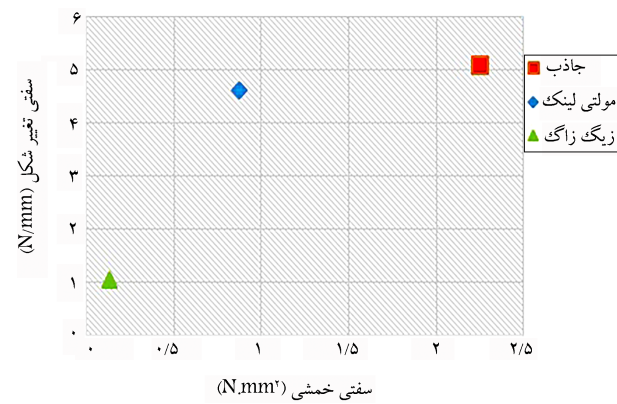
جهت بررسی طرح جدید با کمک روش طراحی آزمایش تاگوچی از نرم افزار مینی‌تب استفاده شده است. استفاده از روش تاگوچی باعث کاهش تعداد آزمایش‌ها و رسیدن به بهترین نتیجه با صرف هزینه و زمان کم، می‌شود. ^۹ آزمایش طراحی شده با استفاده از نرم افزار آباکوس شبیه‌سازی شده‌اند. طرح آزمایشات و نتایج گشتاور خمی حاصل از شبیه‌سازی در جدول ۵ ارائه شده است.

پس از طراحی آزمایش با استفاده از روش تحلیل واریانس می‌توان میزان تأثیر هر یک از پارامترها در انعطاف‌پذیری استنت‌ها را تعیین کرد. در جدول ۶، نتایج حاصل از تحلیل واریانس گزارش شده است. در این جدول، درجه آزادی فاکتورها یک واحد کمتر از تعداد سطوح آنها در طراحی آزمایش است.

جهت بررسی تأثیر پارامترهای هندسی در جدول تحلیل واریانس با توزیع نرمال، از پارامتر مقدار α^{16} استفاده می‌شود. با فرض سطح معنادار $\alpha = 0.05$ اگر

جدول ۴. سفتی تغییر شکل استنت‌های پلیمری با استفاده از روابط تحلیلی (روابط ۱ تا ۴).

استنت	K_d (N/mm)	ΔD (mm)	F (N)	$A_{contact}$ (mm ²)	P (MPa)
جادب	۵/۱۰	۰/۴۰	۲/۰۴	۴۹/۸۳	۰/۰۴۱
مولتی لینک	۴/۶۲	۰/۳۲	۱/۴۸	۴۲/۴۴	۰/۰۳۵
زیگ زاگ	۱/۰۵	۰/۳۷	۰/۳۹	۳۵/۶۲	۰/۰۱۱



شکل ۸. مقایسه بین سفتی تغییر شکل و سفتی خمی استنت‌های مولتی لینک، جاذب و زیگ زاگ.

جدول ۴ سفتی تغییر شکل استنت در فشار فروپاشی را با استفاده از روابط تحلیلی ۱ تا ۴، نشان می‌دهد.

با مقایسه سفتی خمی حاصل از روش المان محدود (جدول ۳) با سفتی تغییر شکل استنت که از روابط تحلیلی محاسبه شده (جدول ۴) مشاهده می‌شود که با افزایش سفتی خمی، سفتی تغییر شکل استنت افزایش پیدا می‌کند که نشان دهنده رابطه مستقیم بین سفتی خمی و سفتی تغییر شکل استنت است (شکل ۸).

۲.۸. طرح نهایی

طرحی بهینه استنت، یکی از روش‌های مهم برای بهبود خواص مکانیکی استنت و قابلیت استفاده از آن به عنوان یک داربست جهت رفع گرفتگی عروق کرونری قلب است. در استنت‌های پلیمری به منظور تأمین نیازهای طراحی، افزایش مقاومت شعاعی ضروری است. در روش‌های متداول طراحی استنت، اتصال استرات‌ها در حلقه‌های متوالی و در یک ردیف به صورت یک در میان انجام می‌شود. به دلیل نقش پل و استرات و نحوه اتصال آنها در خواص مکانیکی استنت، ^[۱۸] ایده اصلی این مقاله یعنی تغییر محل اتصال پل و استرات شکل گرفت. همانطور که ملاحظه شد استنت زیگ زاگ دارای بیشترین میزان انعطاف‌پذیری و کمترین مقدار مقاومت شعاعی در بین استنت‌های پلیمری تجاری است و به همین دلیل، این استنت به منظور بهینه‌سازی انتخاب شد. در این مطالعه، جهت افزایش استحکام شعاعی استنت زیگ زاگ، طرح جدیدی ارائه شد که در آن استرات‌ها در تمامی حلقه‌ها و در یک ردیف به هم متصل شده ولی در ردیف بعدی متصل نیستند (شکل ۹). در ادامه، تحلیل طرح جدید ارائه شده با استفاده از روش المان محدود بحث می‌شود.

مقایسه انعطاف‌پذیری طرح جدید و طرح اولیه استنت زیگ زاگ با استفاده از روش المان محدود، نشان می‌دهد که انعطاف‌پذیری طرح جدید کاهش پیدا کرده ولی

مورد نیاز جهت بازیابی جریان خون را فراهم کند. به دلیل اهمیت این موضوع، در این مطالعه، سفتی و انعطاف‌پذیری استنت‌های پلیمری تجاری مولتی لینک، جاذب و زیگ‌زاگ، که ارتباط مستقیمی با خواص مکانیکی استنت داشته و پرکاربردترین هندسه‌های مورد استفاده هستند، با استفاده از روش‌های تحلیلی محاسبه و از نرم‌افزار آب‌اکوس جهت شبیه‌سازی المان محدود و آنالیز خواص مکانیکی استنت‌های پلیمری تجاری استفاده شده است. مقایسه‌ی نتایج حاصل از شبیه‌سازی المان محدود و معادلات تحلیلی نشان می‌دهد که تطابق خوبی بین نتایج حاصل از این دو روش وجود دارد. مرور مطالعات قبلی نشان می‌دهد که استنت‌های پلیمری به دلیل مدلول الاستیسیته‌ی پایین دارای استحکام کمی نسبت به استنت‌های فلزی مشابه هستند.^[۲۴] البته در مقابل، انعطاف‌پذیری بالاتر و سایر مزایای قابل توجه استنت‌های پلیمری، این جنس ماده را در کانون توجه به منظور ساخت استنت‌ها قرار داده است. به همین منظور در این مقاله، همانطور که پیشتر نیز اشاره شد، جهت کاهش عیب عملکردی ناشی از استحکام پایین استنت پلیمری نسبت به استنت فلزی، با بهینه‌سازی هندسه‌ای استنت، هندسه‌ای ارائه شده که دارای انعطاف‌پذیری و استحکام قابل قبول است. در مطالعات پیشین^[۱۸] نیز نشان داده شده است که هندسه‌ای استنت تأثیر زیادی روی خواص مکانیکی آن دارد و با بهینه‌سازی پارامترهای هندسه‌ی شامل استرات و پل می‌توان استحکام استنت‌های پلیمری را نسبت به نمونه‌های مشابه فلزی، تا حدود زیادی بهبود بخشدید. انعطاف‌پذیری طرح جدید ارائه شده برای استنت با هندسه‌ی زیگ‌زاگ با استفاده از روش طراحی آزمایش تاگوچی و تحلیل واریانس انجام و مشخص شد که انعطاف‌پذیری این استنت نسبت به تغییر ضخامت حساس نبوده و می‌توان با افزایش ضخامت استنت، استحکام شعاعی آن را افزایش داد.

جدول ۵. طراحی آزمایش با استفاده از روش تاگوچی و نتایج گشتاور خمشی بدست آمده از شبیه‌سازی.

آزمایش‌ها	استرات	عرض پل (mm)	ضخامت استنت (mm)	گشتاور خمشی (N.mm)
۱	۰/۱	۰/۰۸	۰/۱۷	۰/۱۷۹
۲	۰/۱	۰/۱۱	۰/۲	۰/۲۶۴
۳	۰/۱	۰/۱۴	۰/۲۳	۰/۳۰۶
۴	۰/۱۳	۰/۰۸	۰/۲	۰/۲۳۹
۵	۰/۱۳	۰/۱۱	۰/۲۳	۰/۳۷۹
۶	۰/۱۳	۰/۱۴	۰/۱۷	۰/۴۹۲
۷	۰/۱۶	۰/۰۸	۰/۲۳	۰/۲۹۷
۸	۰/۱۶	۰/۱۱	۰/۱۷	۰/۴۷۱
۹	۰/۱۶	۰/۱۴	۰/۲	۰/۵۴۸

جدول ۶. نتایج تحلیل واریانس برای انعطاف‌پذیری استنت‌ها.

مجموع	میانگین	مقدار مربعات	مقدار احتمال	درجہ آزادی	فاکتور
عرض استرات	۰/۰۶۱۴	۰/۰۳۰۷	۲۱/۹۴	۲	۰/۰۴۴
عرض پل	۰/۰۷۴۹	۰/۰۳۷۴	۲۶/۷۵	۲	۰/۰۳۶
ضخامت استنت	۰/۰۰۴۳	۰/۰۰۲۱	۱/۵۷	۲	۰/۳۹
خطا	۰/۰۰۲۸	۰/۰۰۱۴	-	۲	-
مجموع	۰/۱۴۳	-	-	۸	-

مقدار p از ۰/۰ کوچکتر باشد نشان دهندهٔ تأثیر معنادار آن فاکتور روی خروجی بوده و اگر این مقدار بیشتر از ۰/۰۵ باشد یعنی آن فاکتور تأثیر معناداری روی خروجی ندارد. با توجه به جدول ۶، پارامترهای هندسی عرض استرات و عرض پل روی انعطاف‌پذیری استنت مؤثر بوده ولی ضخامت استنت تأثیر معناداری روی انعطاف‌پذیری استنت ندارد.

۹. بحث و بررسی

استنت‌های قلبی عروقی با توجه به اهداف تعیین شده باید دارای پارامترهای استحکام شعاعی و انعطاف‌پذیری مناسبی باشند که این خواص در تضاد با یکدیگر هستند. لذا برای رسیدن به صلابت شعاعی و انعطاف‌پذیری مطلوب، انتخاب مقدار بهینه خواص مکانیکی و هندسی استنت ضروری است. استنت باید دارای انعطاف‌پذیری کافی جهت انتطبق با آناتومی رگ و تغییر شکل آن بوده و همچین بتواند مقاومت شعاعی

پانوشت‌ها

3. Radiopacity
4. Restenosis
5. Multilink
6. Absorb
7. Zig-Zag (Igaki-Tamai)

8. Bench Testing
9. Cell
10. Strut
11. Bridge
12. Ring
13. Solidworks
14. Poly Lactic Acid
15. Pre-expanded
16. P-Value

منابع (References)

1. Rebelo, R., Vila, N., Fangueiro, R., Carvalho, S. and Rana, S., 2015. Influence of design parameters on the mechanical behavior and porosity of braided fibrous stents. *Materials & Design*, 86, pp.237-247. <https://doi.org/10.1016/j.matdes.2015.07.051>.
2. Hansson, G.K., 2005. Inflammation, atherosclerosis, and coronary artery disease. *New England Journal of Medicine*, 352(16), pp. 1685-1695. <https://doi.org/10.1056/NEJMra043430>.
3. Wang, T. and Butany, J., 2017. Pathogenesis of atherosclerosis. *Diagnostic Histopathology*, 23(11), pp.473-478. <https://doi.org/10.1016/j.mpdhp.2017.11.009>.
4. Okereke, M.I., Khalaj, R., Tabriz, A.G. and Douroumis, D., 2021. Development of 3D printable biodegradable coronary artery stents: A virtual testing approach. *Mechanics of Materials*, 163, p.104092. <https://doi.org/10.1016/j.mechmat.2021.104092>.
5. Chen, W., Habraken, T.C., Hennink, W.E. and Kok, R.J., 2015. Polymer-free drug-eluting stents: An overview of coating strategies and comparison with polymer-coated drug-eluting stents. *Bioconjugate chemistry*, 26(7), pp.1277-1288. <https://doi.org/10.1021/acs.bioconjchem.5b00192>.
6. Saraf, A.R. and Yadav, S.P., 2018. *Fundamentals of Bare-Metal Stents*. In Functionalised Cardiovascular Stents, pp.27-44. Woodhead Publishing. <https://doi.org/10.1016/B978-0-08-100496-8.00002-0>.
7. Park, J., Kim, J.K., Park, S.A. and Lee, D.W., 2019. Biodegradable polymer material based smart stent: Wireless pressure sensor and 3D printed stent. *Microelectronic Engineering*, 206, pp.1-5. <https://doi.org/10.1016/j.mee.2018.12.007>.
8. Hu, T., Yang, J., Cui, K., Rao, Q., Yin, T., Tan, L., Zhang, Y., Li, Z. and Wang, G., 2015. Controlled slow-release drug-eluting stents for the prevention of coronary restenosis: Recent progress and future prospects. *ACS Applied Materials & Interfaces*, 7(22), pp.11695-11712. <https://doi.org/10.1021/acsmami.5b01993>.
9. Yang, C.S., Wu, H.C., Sun, J.S., Hsiao, H.M. and Wang, T.W., 2013. Thermo-induced shape-memory PEG-PCL copolymer as a dual-drug-eluting biodegradable stent. *ACS Applied Materials & Interfaces*, 5(21), pp.10985-10994. <https://doi.org/10.1021/am4032295>.
10. Roopmani, P., Satheesh, S., Raj, D.C. and Krishnan, U.M., 2019. Development of dual drug eluting cardiovascular stent with ultrathin flexible poly (l-lactide-co-caprolactone) coating. *Acs Biomaterials Science & Engineering*, 5(6), pp.2899-2915. <https://doi.org/10.1021/acsbiomaterials.9b00303>.
11. Guerra, A.J., Cano, P., Rabonet, M., Puig, T. and Ciurana, J., 2018. 3D-printed PCL/PLA composite stents: Towards a new solution to cardiovascular problems. *Materials*, 11(9), p.1679. <https://doi.org/10.3390/ma11091679>.
12. Wu, W., Yang, D.Z., Qi, M. and Wang, W.Q., 2007. An FEA method to study flexibility of expanded coronary stents. *Journal of Materials Processing Technology*, 184(1-3), pp.447-450. <https://doi.org/10.1016/j.jmatprotc.2006.12.010>.
13. Foin, N., Di Mario, C., Francis, D.P. and Davies, J.E., 2013. Stent flexibility versus concertina effect: Mechanism of an unpleasant trade-off in stent design and its implications for stent selection in the cath-lab. *International Journal of Cardiology*, 164(3), pp.259-261. <https://doi.org/10.1016/j.ijcard.2012.09.143>.
14. Ellis, S.G., Kereiakes, D.J., Metzger, D.C., Caputo, R.P., Rizik, D.G., Teirstein, P.S., Litt, M.R., Kini, A., Kabour, A., Marx, S.O. and Popma, J.J., 2015. Everolimus-eluting bioresorbable scaffolds for coronary artery disease. *New England Journal of Medicine*, 373(20), pp.1905-1915. <https://doi.org/10.1056/NEJMoa1509038>.
15. Li, Y., Wang, Y., Shen, Z., Miao, F., Wang, J., Sun, Y., Zhu, S., Zheng, Y. and Guan, S., 2020. A biodegradable magnesium alloy vascular stent structure: Design, optimisation and evaluation. *Acta Biomaterialia*, 142, pp.402-412. <https://doi.org/10.1016/j.actbio.2022.01.045>.
16. Li, Y., Wang, J., Sheng, K., Miao, F., Wang, Y., Zhang, Y., Hou, R., Mei, D., Sun, Y., Zheng, Y. and Guan, S., 2022. Optimizing structural design on biodegradable magnesium alloy vascular stent for reducing strut thickness and raising radial strength. *Materials & Design*, 220, p.110843. <https://doi.org/10.1016/j.matdes.2022.110843>.
17. Tofail, S.A., Koumoulos, E.P., Bandyopadhyay, A., Bose, S., O'Donoghue, L. and Charitidis, C., 2018. Additive manufacturing: Scientific and technological challenges, market uptake and opportunities. *Materials Today*, 21(1), pp.22-37. <https://doi.org/10.1016/j.mattod.2017.07.001>.
18. Wang, C., Zhang, L., Fang, Y. and Sun, W., 2020. Design, characterization, and 3D printing of cardiovascular stents with zero Poisson's ratio in longitudinal deformation. *Engineering*, 7(7), pp.979-990. <https://doi.org/10.1016/j.eng.2020.02.013>.
19. Li, H., Wang, X., Wei, Y., Liu, T., Gu, J., Li, Z., Wang, M., Zhao, D., Qiao, A. and Liu, Y., 2017. Multi-objective optimizations of biodegradable polymer stent structure and stent microinjection molding process. *Polymers*, 9(1), p.20. <https://doi.org/10.3390/polym9010020>.
20. Shen, X., Deng, Y.Q., Ji, S., Zhu, H.F., Jiang, J.B. and Gu, L.X., 2019. Bending analysis of stented coronary artery: The interaction between stent and vessel. *Journal of Mechanics*, 35(4), pp.455-463. <https://doi.org/10.1017/jmech.2018.23>.

21. Azaouzi, M., Makradi, A. and Belouettar, S., 2013. Numerical investigations of the structural behavior of a balloon expandable stent design using finite element method. *Computational Materials Science*, 72, pp.54-61. <https://doi.org/10.1016/j.commatsci.2013.01.031>.
22. Mori, K. and Saito, T., 2005. Effects of stent structure on stent flexibility measurements. *Annals of Biomedical Engineering*, 33(6), pp.733-742. <https://doi.org/10.1007/s10439-005-2807-6>.
23. Li, N., Zhang, H. and Ouyang, H., 2009. Shape optimization of coronary artery stent based on a parametric model. *Finite Elements in Analysis and Design*, 45(6-7), pp.468-475. <https://doi.org/10.1016/j.finel.2009.01.001>.
24. Grogan, J.A., Leen, S.B. and McHugh, P.E., 2012. Comparing coronary stent material performance on a common geometric platform through simulated bench testing. *Journal of the Mechanical Behavior of Biomedical Materials*, 12, pp.129-138. <https://doi.org/10.1016/j.jmbbm.2012.02.013>.
25. Bobel, A.C., Petisco, S., Sarasua, J.R., Wang, W. and McHugh, P.E., 2015. Computational bench testing to evaluate the short-term mechanical performance of a polymeric stent. *Cardiovascular Engineering and Technology*, 6(4), pp.519-532. <https://doi.org/10.1007/s13239-015-0235-9>.
26. Bonsignore, C., 2011. Open stent design. NDC,47533, pp.20-47. <https://doi.org/10.1080/136457002760273340>.
27. Ormiston, J.A. and Serruys, P.W., 2009. Bioabsorbable coronary stents. *Circulation: Cardiovascular Interventions*, 2(3), pp. 255-260. <https://doi.org/10.1161/CIRCINTERVENTIONS.109.859173>.
28. Qiu, T.Y., Song, M. and Zhao, L.G., 2018. A computational study of crimping and expansion of bioresorbable polymeric stents. *Mechanics of Time-Dependent Materials*, 22(2), pp.273-290. <https://doi.org/10.1007/s11043-017-9371-y>.